

УДК 532.74

О ВЛИЯНИИ ГЕОМЕТРИИ ВОДОРОДНОГО МОСТИКА НА КОЛЕБАТЕЛЬНЫЕ СПЕКТРЫ ВОДЫ: ТРЕХПАРАМЕТРИЧЕСКИЙ ПОТЕНЦИАЛ Н-СВЯЗИ

© 2010 Ю.Я. Ефимов*

Учреждение Российской академии наук Институт химической кинетики и горения СО РАН, Новосибирск

Статья поступила 27 июня 2009 г.

Способность молекул воды формировать трехмерную сетку водородных связей во многом определяет как собственную структуру и уникальные свойства этой жидкости, так и характер взаимодействий с иными молекулами. Однако не известна зависимость энергии Н-связи от геометрии ее водородного мостика: длины $R_{\text{O...O}}$ и "нелинейности", т.е. отклонения направлений образующих эту связь группы О—Н и неподеленной пары от оптимального (углы $\varphi = \text{H—O...O}$ и $\chi = —\text{O...O}$ соответственно). Даже в методах компьютерного моделирования вклад Н-связей в суммарный потенциал не выделен, что не позволяет однозначно определять эти связи в модели и количественно анализировать характеристики их сеток. Цель данной работы — восполнить этот пробел, выразив энергию E через геометрические параметры (R , φ , χ). Качество решения контролируется согласием рассчитанных с его помощью распределений частот колебаний OH (очень чувствительных к силе Н-связи) с формой экспериментальных спектров в широком интервале температур. На его основе рассчитаны также распределения энергий Н-связи $P(E, T)$ и углов их изгиба $P(\varphi, T)$ и $P(\chi, T)$. Показано, что основной вклад в спектры дают наиболее короткие связи, лежащие вблизи минимума потенциала $E(R)$. При этом низкочастотный склон полосы соответствует слабоизогнутым Н-связям, а центральная часть — тоже коротким, но весьма нелинейным. "Длинные" Н-связи ответственны только за известное высокочастотное крыло Волрафена вблизи 3620 см^{-1} . Эти слабые связи к тому же очень сильно изогнуты.

Ключевые слова: жидкая вода, континуальная модель, водородная связь, флюктуационная теория, геометрия, потенциал, колебательные спектры.

ВВЕДЕНИЕ

Непрерывная модель (continuum model) [1] предполагает, что в воде нет дискретных сортов ассоциатов (мономеров, димеров и т.п.). Основу ее структуры определяет трехмерная сетка Н-связей, различающихся геометрическими параметрами водородных мостиков О—Н...О и энергиями связи E . Давно известно, что частота максимума широких полос колебаний О—Н в различных системах (не только водных) коррелирует со средней энергией Н-связей в системе [2]. Оказывается, это верно и для каждой конкретной водородной связи, т.е. широкая спектральная полоса является совокупностью множества узких линий. Частота каждой из них ν_{OH} однозначно определяет энергию Н-связи E , в которую вовлечена данная группа О—Н [3]. Форма статистического распределения этих частот и даже ее очень характерная температурная эволюция прекрасно описываются простой Больцмановской формулой [4]

$$P(v, T) = Q^{-1}(T)W(v)\exp[-E(v)/(kT)]. \quad (1)$$

Здесь $Q(T)$ — статистический интеграл (статсумма), нормирующий распределение $P(v, T)$;

* E-mail: efimov@kinetics.nsc.ru

$W(v)$, вырожденность состояний с частотой v — доля всех в принципе возможных геометрических конфигураций водородного мостика, порождающих данную частоту v . Фактическая реализуемость таких конфигураций при температуре T определяется экспонентой $\exp[-E(v)/(kT)]$. Сравнение экспериментальных спектров колебаний О—Н воды при нескольких температурах позволило в явном виде найти связь E и W с частотой v_{OH} , причем обе входящие в (1) функции $E(v)$ и $W(v)$ действительно оказались не зависящими от температуры. В результате впервые в рамках единой теории были количественно описаны существенно разные по форме спектры ИК поглощения и комбинационного рассеяния молекул HOD в D₂O при постоянной плотности во всем изученном интервале температур [5, 6]. Это является веским свидетельством в пользу непрерывной модели строения воды.

Успех теоретического описания формы и температурной эволюции статистического распределения частот v_{OH} позволяет предположить, что и вероятность реализации водородного мостика с геометрией (R, ϕ, χ) можно описать аналогичным выражением

$$P(R, \phi, \chi, T) = Q^{-1}(T) W(R, \phi, \chi) \exp[-E(R, \phi, \chi) / (kT)]. \quad (2)$$

Однако, если в [5, 6] вырожденность Н-связей $W(v)$, которые порождают в спектре частоту v_{OH} , была "вещью в себе" и находилась из эксперимента, то в (2) ее аналог может быть однозначно определен как элемент объема в пространстве конфигураций, $W(R, \phi, \chi) = 4\pi R^2 \sin(\phi) \sin(\chi)$ [7]. Он определяет чисто геометрическую вероятность для протонодонорной группы OH одной молекулы воды встретить акцептор протона O другой молекулы на расстоянии $R_{\text{O...O}}$, если углы отклонения направления группы О—Н и неподеленной пары кислорода от идеальной (линейной) конфигурации водородного мостика составляют ϕ и χ соответственно. Заданная таким образом вырожденность конкретной конфигурации водородного мостика, разумеется, не зависит от энергии связи. Последняя определяет полную вероятность реализации такой конфигурации при температуре T сомножителем $\exp[-E(R, \phi, \chi)/(kT)]$, как и в формуле (1). В результате задача сводится к нахождению такого вида $E(R, \phi, \chi)$, который позволил бы с учетом известных $W(v)$ и $E(v)$, воспроизвести в компьютерном эксперименте форму и температурную эволюцию реальных спектров при переборе всевозможных троек параметров (R, ϕ, χ) с весом $W(R, \phi, \chi) \cdot \exp[-E(R, \phi, \chi)/(kT)]$. Строгое решение было найдено только для однопараметрических потенциалов $E(R)$ или $E(\phi)$, в терминах которых первоначально формулировалась эта задача [8]. Уже в случае двух параметров (R, ϕ) [7] она становится некорректной обратной задачей поиска $v_{\text{OH}}(R, \phi)$, включающей решение интегрального уравнения вида

$$\iint_{(R, \phi): v \leq v_{\text{OH}}} W(R, \phi) dR d\phi = \int_0^{v_{\text{OH}}} W(v) dv. \quad (3)$$

При разумных упрощениях в [7] удалось получить искомую зависимость как для $E(R, \phi)$, так и для альтернативного потенциала $E(\phi, \chi)$. Данная работа завершает серию [7, 8] решением полной задачи о трехпараметрическом потенциале водородной связи.

ВЫЧИСЛЕНИЕ ТРЕХПАРАМЕТРИЧЕСКОГО ПОТЕНЦИАЛА

Как и в [7], влияние длины водородной связи R и обоих углов ее изгиба ϕ и χ на низкочастотный сдвиг частоты v_{OH} относительно невозмущенного ("мономерного") значения $v_u = 3707 \text{ см}^{-1}$ будем считать мультиплекативным,

$$(v_u - v_{\text{OH}}) = \Phi(R) \cdot F(\phi) \cdot f(\chi), \quad (4)$$

а радиальную зависимость $\Phi(R)$ заимствуем из эмпирической корреляции [9], где R выражено в ангстремах, а частоты в (4) — в обратных сантиметрах:

$$\Phi(R) = 2,222 \cdot 10^7 \exp(-3,925R). \quad (5)$$

Зависимости $F(\phi)$ и $f(\chi)$ должны быть функциями, монотонно спадающими от единицы до нуля при увеличении соответствующего угла от нуля (линейная водородная связь) до предельных значений ϕ_{lim} и χ_{lim} , приводящих к разрыву этой связи и образованию новой. В частности, для линейных Н-связей в жидкости формула (4) предписывает уменьшение сдвига частоты с удли-

нением связи, известное из опыта для кристаллов [10, 9]. Отклонение направления группы O—H и неподеленной пары от "линейной" геометрии приводит к дальнейшему ослаблению связи и уменьшению этого сдвига, монотонно приближая ν_{OH} к частоте колебаний свободной группы O—H $\nu_u = 3707 \text{ см}^{-1}$.

Поскольку уже в случае двухпараметрического потенциала не удалось найти строгого решения $v(\phi, \chi)$ обратной задачи [7], то здесь мы и не пытаемся решать трехпараметрический аналог интегрального уравнения (3). Вместо этого, ориентируясь на форму ранее найденных угловых зависимостей (рис. 1, a), постараемся наиболее просто задать вид их функциональной зависимости с минимумом параметров (два):

$$F(\phi) = 1 / [1 + (\phi / \sigma)^n], \quad (6a)$$

$$f(\chi) = 1 / [1 + (\chi / 2\sigma)^n], \quad (6b)$$

и далее уточнять их, решая **прямую** задачу выражения v через (R, ϕ, χ) в (4) так, чтобы достигнуть наилучшего согласия рассчитываемой функции $W(v)$ с известной из опыта. Удвоенный параметр "ширины" 2σ для углов χ в (6b) соответствует разнице ранее найденных без учета R кривых 2 (для ϕ) и 3 (для χ) на рис. 1, a, а физически отражает большую чувствительность водородной связи к ориентации группы O—H, чем неподеленной пары. (Легко заметить, что при $n = 2$ кривые (6) дают лорентцевский контур.)

Для расчета функции $W(v)$ при заданных n и σ мы равномерно перебирали более миллиона троек параметров (R, ϕ, χ) в интервалах $R_{\min} \leq R \leq R_{\lim}$, $0 \leq \phi, \chi \leq \pi/2$. Самая короткая H-связь с длиной $R_{\min} = 2,6857 \text{ \AA}$ по формулам (4) и (5) при $F(\phi) = f(\chi) = 1$ (т.е. $\phi = \chi = 0$) соответствует низкочастотной границе спектра колебаний O—H, $\nu_{\min} = 3120 \text{ см}^{-1}$, предельные углы изгиба H-связи ϕ_{\lim} и χ_{\lim} для простоты приняты равными $\pi/2$. Значение предельной длины H-связи $R_{\lim} \approx 3,1 \text{ \AA}$, принятное в [7, 8], уточняли в ходе расчетов. Для каждой тройки (R, ϕ, χ) по формуле (4) вычисляли соответствующую ей частоту ν_{OH} , и к отнесеному к ней элементу дискретного массива $W[v_i]$ добавляли вклад этой тройки $\Delta W_i = R^2 \sin(\phi) \sin(\chi)$ в суммарную вырожден-

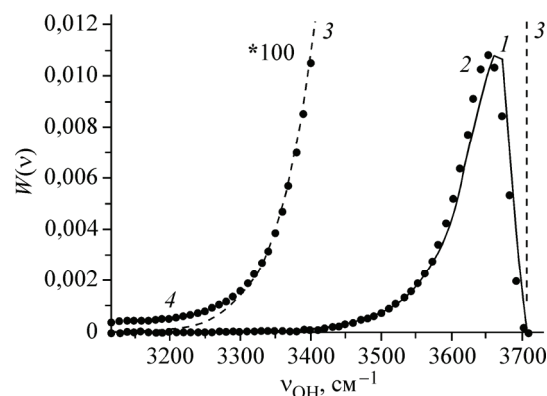
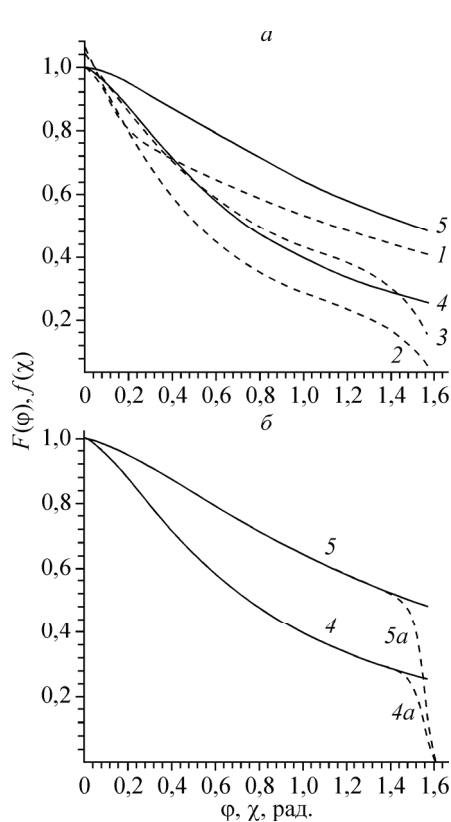


Рис. 1 (слева). Угловые факторы ослабления H-связи $F(\phi)$ и $f(\chi)$, сомножители формулы (4).

a) Штриховые линии заимствованы из [7] как $\sqrt{F_1}(\phi)$ для зависимости $v(R, \phi)$ (кривая 1) и как $F(\phi)$ и $f(\chi)$ для зависимости $v(\phi, \chi)$ без учета влияния R (кривые 2 и 3). Сплошные кривые 4 и 5 рассчитаны согласно формулам (6) с $n = 1,45$ и $\sigma = 0,75$; б) Кривые 4 и 5 из рис. 1, a (сплошные) и их модификация выражением (7) (штрихи)

Рис. 2 (справа). Функция вырожденности конфигураций H-связи, порождающих в спектре частоту ν_{OH} :

1 — наш расчет (см. текст), 2 — полученная из экспериментальных спектров $W(v)$, 3 и 4 — они же, умноженные на 100 для улучшенного отображения области низких частот

ность состояний, порождающих частоту $\nu_{\text{OH}} = \nu_i \pm 5 \text{ см}^{-1}$. Разумеется, к этому же элементу массива $W[\nu_i]$ в процессе счета добавляли вклады от других троек (R, ϕ, χ) , чьи вычисленные частоты ν_{OH} оказывались в интервале $\pm 5 \text{ см}^{-1}$ относительно центра i -го "ящика", ν_i .

Одновременно с $W(\nu)$ в том же тройном цикле программы (по R, ϕ и χ) вычисляли статистические распределения частот $P(\nu)$ и углов $P(\phi)$ и $P(\chi)$. Для этого также заводили соответствующие массивы (последовательности "ящиков") $P[\nu_i], P[\phi_i], P[\chi_i]$, пополняемые произведениями ΔW_i на энергетическую вероятность реализации данной конфигурации при температуре T , $\exp[-E(R, \phi, \chi)/(kT)]$. Необходимую для этого энергию водородной связи $E(R, \phi, \chi)$ (в кДж/моль) вычисляли из найденной частоты ν_{OH} по найденной в [11] формуле:

$$E(x) = -0,07x + 0,000104x^2 - 0,493 \cdot 10^{-6}x^3 + 0,1224 \cdot 10^{-8}x^4 - 0,828 \cdot 10^{-12}x^5; \\ x = 3707 - \nu_{\text{OH}} (\text{см}^{-1}). \quad (7)$$

Неплохое согласие рассчитанной функции $W(\nu)$ (рис. 2, линии) с полученной в [11] на основе эксперимента [12] (точки) достигнуто при $n = 1,45$, $\sigma = 0,75$ в формулах (6). При этом предельную длину R_{lim} Н-связи пришлось уменьшить на $0,05 \text{ \AA}$ до $3,05 \text{ \AA}$. Соответствующие кривые $F(\phi)$ и $f(\chi)$ изображены сплошными линиями на рис. 1, *a*. Однако, в отличие от кривых 2 и 3, полученных в [7] без учета роли R , они не обращаются в нуль при стремлении ϕ и χ к предельному значению. В результате и рассчитанные распределения углов $P(\phi)$ и $P(\chi)$ тоже не стремятся к нулю при $\pi/2$. Этот недостаток легко исправить, умножив угловые факторы ослабления Н-связи (6) на функцию, не искажающую их вид в основной области значений, но резко уменьшающуюся вблизи $\pi/2$:

$$G(\alpha) = \exp[-(\alpha / \sigma_G)^m], \quad \alpha = \phi \text{ и } \chi, m = 50, \quad \sigma_G = 1,56. \quad (8)$$

Модифицированные таким образом функции $F(\phi)$ и $f(\chi)$ изображены на рис. 1, *b* штрихованными кривыми 4*a* и 5*a* и использованы во всех дальнейших расчетах.

РЕЗУЛЬТАТЫ И ИХ ОБСУЖДЕНИЕ

Зависимость частоты колебаний О—Н молекулы воды ν_{OH} от геометрии водородного мостика (формула (4) с учетом (5) и (6)) изображена на рис. 3, а ее радиальная составляющая (при $\phi = \chi = 0$, линейная Н-связь) — сплошной линией на рис. 4. Ввиду (5) она описывается формулой

$$\nu_{\text{OH}}(R) = 3707 - 2,222 \cdot 10^7 \exp(-3,925R). \quad (9)$$

На рис. 4 штриховой линией показана также энергия Н-связи E как функция ее длины R , полученная подстановкой (9) в (7). Из этого рисунка видно, что как частота ν_{OH} , так и энергия при

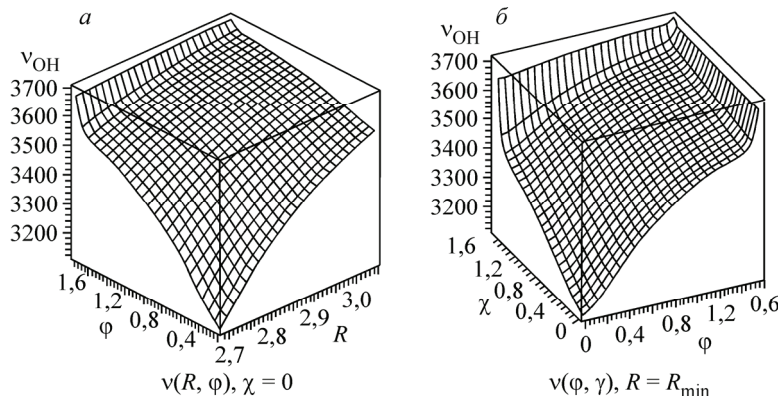


Рис. 3. Зависимость частоты колебаний О—Н молекулы воды ν_{OH} от геометрии водородного мостика: его длины $R_{\text{O...O}}$ и угла ϕ при $\chi = 0$ (*a*) и от обоих углов ϕ и χ при $R_{\text{O...O}} = R_{\min}$ (*b*). Вычислено по формуле (4) с учетом (5)–(8)

Рис. 4. Зависимость частоты колебаний О—Н, рассчитанная по формуле (9) (сплошная кривая, левая ось ординат), и энергии линейной водородной связи (формула (7) с учетом (9): штрих, правая ось ординат) от длины этой связи $R_{\text{O...O}}$ при $\phi = \chi = 0$

максимальной длине $R_{\text{lim}} = 3,05 \text{ \AA}$ Н-связи, когда происходит ее разрыв, далеко не достигают своих предельных значений 3707 cm^{-1} и 0 кДж/моль соответственно, как было бы в газе. В плотноупакованной жидкости слабая связь разрывается гораздо раньше, и освободившаяся О—Н группа переключается на более удачно расположенного соседа. В отсутствие невыгодных "длинных" Н-связей все высокочастотное крыло спектра при $\nu_{\text{OH}} > 3550 \text{ cm}^{-1}$ обеспечивается сильно изогнутыми водородными связями (см. рис. 3) с энергией, большей -9 кДж/моль (см. рис. 4).

Статистические распределения частот, рассчитанные для трех температур от 10 до 200°C , изображены сплошными линиями на рис. 5, а вместе с полученными в [11] из экспериментальных спектров ИК поглощения [12]. Практически такова же температурная эволюция распределений $P(\nu, T)$, полученных из спектров КР [5]. Учитывая неординарный характер изменения формы спектральных контуров, полученное согласие можно считать неплохим. Рис. 5, б показывает вычисленные распределения углов $P(\phi)$ и $P(\chi)$, а рис. 5, в — распределения энергий Н-связей при тех же температурах.

Все четыре рассчитанные характеристики демонстрируют более или менее выраженное бимодальное поведение: наличие двух областей значений частот, углов изгиба и энергий водородных связей. Именно этот факт, впервые обнаруженный в спектрах комбинационного рассеяния молекул HOD, оправдывал двухструктурную модель строения воды. В некоторых ее

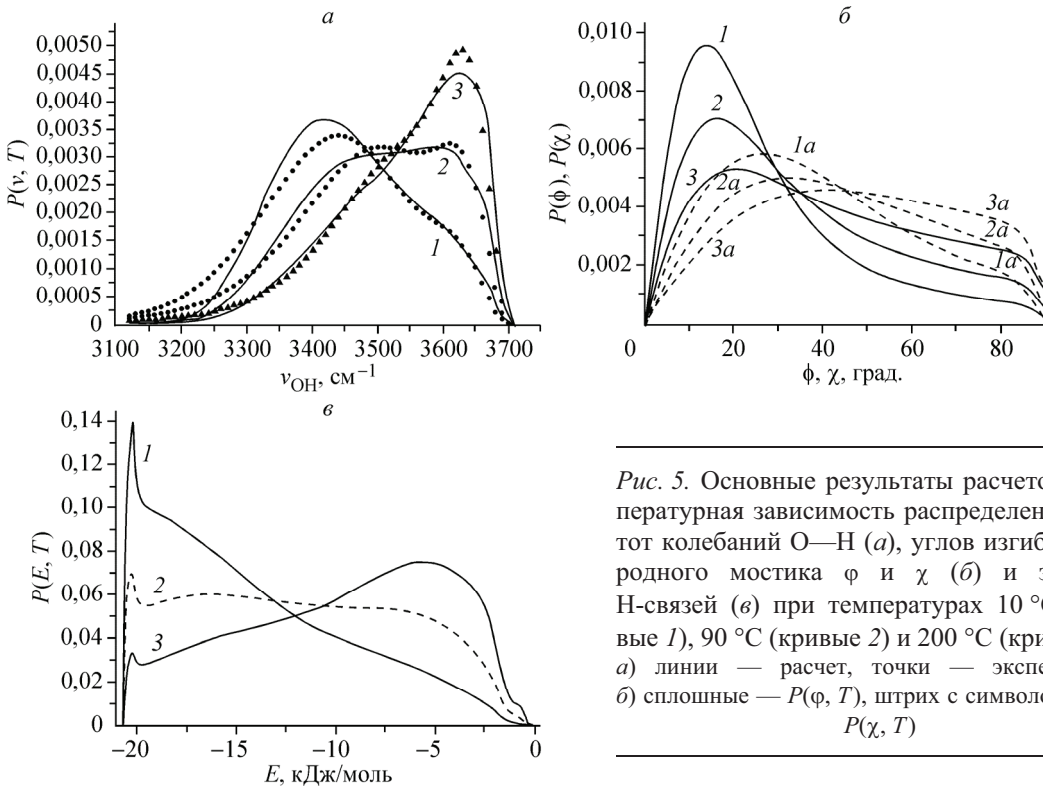


Рис. 5. Основные результаты расчетов: температурная зависимость распределений частот колебаний О—Н (а), углов изгиба водородного мостика ϕ и χ (б) и энергий Н-связей (в) при температурах 10°C (кривые 1), 90°C (кривые 2) и 200°C (кривые 3). а) линии — расчет, точки — эксперимент; б) сплошные — $P(\phi, T)$, штрих с символом 'а' — $P(\chi, T)$

вариантах группы О—Н делились на участвующие в водородной связи и свободные, "моно-мерные", а температурная трансформация спектрального контура объяснялась разрывом Н-связей, т.е. "перекачкой" между двумя сортами с фиксированными параметрами. Однако в такой интерпретации полоса колебаний свободных групп О—Н, согласно всему опыту спектроскопии, должна быть гораздо уже и располагаться на более высокой частоте, а полоса Н-связанных групп О—Н не должна смещаться, но лишь уменьшаться по интенсивности с ростом температуры. Наши расчеты являются серьезным аргументом в пользу непрерывной модели воды, поскольку в них изначально заложены **непрерывные** статистические распределения геометрических параметров водородных мостиков и **монотонный** закон их изменения с температурой. Места для дискретных сортов групп О—Н или молекул попросту не остаются.

Из рис. 5, б видно, что с ростом температуры распределения $P(\phi)$ и $P(\chi)$ уширяются, а их максимумы смещаются к большим углам. Растет также доля сильно изогнутых водородных связей. Все отмеченное гораздо сильнее выражено для углов отклонения от оптимальной геометрии неподеленной пары (штрихованные кривые 1 a —3 a), чем группы О—Н (сплошные кривые 1—3). Это объясняется более резкой зависимостью энергии Н-связи от ориентации группы О—Н.

При низких температурах в воде превалируют сильные "льдоподобные" водородные связи с энергией около 20 кДж/моль, доля более слабых связей монотонно уменьшается при стремлении E к нулю (кривая 1 на рис. 5, б). При 200 °C ситуация меняется на обратную, и больше всего слабых Н-связей с энергией \approx 6 кДж/моль (кривая 3). Интересно, что при 100 °C все энергии от 6 до 20 кДж/моль представлены практически с равным весом (кривая 2 рассчитана для $T = 90$ °C, где есть экспериментальные спектры, см. рис. 5, а). Наличию острого максимума распределения $P(E)$ и его резкому обрыву при -21 кДж/моль вряд ли стоит придавать большое значение. Обрыв вызван тем, что в используемом потенциале просто нет энергий, меньших -21 кДж/моль (см. рис. 4), а однозначная зависимость $E(v)$ в (7) формально приводит к стремлению $P(E)$ к бесконечности при E_{\min} ввиду $P(E) = P(v)/|\partial E/\partial v|$, поскольку производная $|\partial E/\partial v|$ в этой точке обращается в нуль. Однако функция $P(E)$ не расходится, что подтверждает и наш расчет по дискретным интервалам E . Не исключено, что левее минимума "истинная" энергия водородной связи $E_H(v)$ как энергия притяжения с дальнейшим уменьшением частоты также продолжит уменьшаться. Сам наблюдаемый минимум обусловлен растущим отталкиванием $E_a(R_{O...O})$ двух атомов кислорода, возможно, при их чрезмерном сближении (ближе, чем во льду) в плотных микрообластях жидкости. Это взаимодействие не изменяет частоту v_{OH} , которая по-прежнему коррелирует с $E_H(v)$, но его энергия $E_a(R)$ как слагаемое влияет на вероятность реализации данной конфигурации в экспоненте формул (1) и (2). При этом никакого пика на левом крыле распределений $P(E_H)$ не будет.

Интересную информацию можно получить, вычисляя изображенные на рис. 5 распределения раздельно для коротких и длинных водородных связей. К первой группе отнесем связи вблизи минимума энергии, имеющие длину меньше $R_2 = 2,823 \text{ \AA}$ (см. рис. 4). На рис. 6 они помечены символом a . Ко второй — все остальные, с $R_{O...O} > R_2$, помечены символом b . Расчет проведен для двух температур: $T_1 = 50$ °C (кривые 1) и $T_2 = 300$ °C (кривые 2). Вторая температура — максимальная, для которой нам еще удалось найти в литературе экспериментальные спектры для воды в *жидком* состоянии, т.е. с плотностью $\rho \sim 1 \text{ г}/\text{см}^3$, см. [5].

Из рис. 6, а видно, что при обеих температурах основной вклад в спектральный контур дают более короткие водородные связи, хотя при 300 °C вклад длинных связей заметно растет. Таким образом, преимущество в энергии (экспонента в формулах (1) и (2)) для коротких связей подавляет большую вырожденность $W \sim R^2$ длинных. Существенное различие этих двух групп проявляется в том, что спектральный контур, соответствующий коротким связям, с ростом температуры резко смещается к высоким частотам (кривые 1 a и 2 a), тогда как для длинных связей он остается на месте (кривые 1 b и 2 b). Последние формируют то самое высокочастотное плечо в спектрах комбинационного рассеяния, которое послужило основанием двухструктурных моделей. Поскольку им соответствует энергия всего 3–4 кДж/моль (кривые 1 b и 2 b на

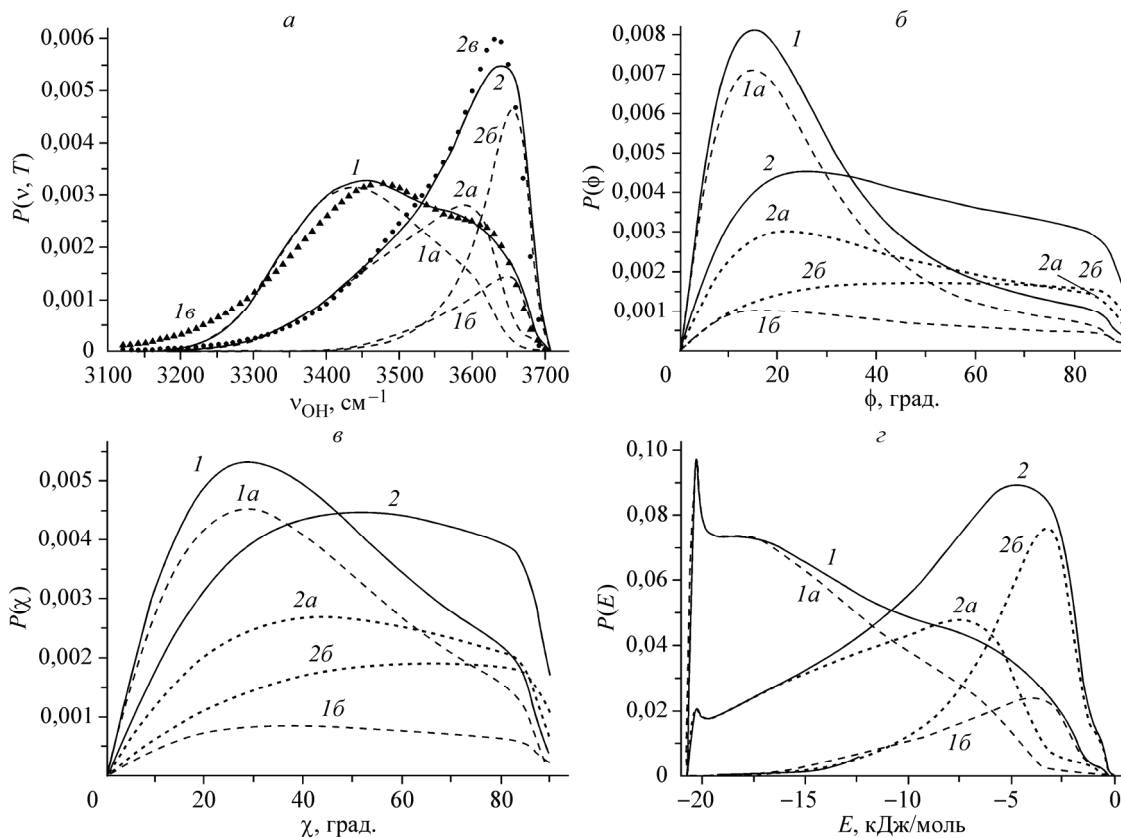


Рис. 6. Температурная зависимость распределений частот колебаний О—Н (а), углов отклонения группы О—Н ϕ (б) и неподеленной пары χ (в) относительно линейной конфигурации Н-связи, а также энергий Н-связей (г) при температурах 50 °С (кривые 1) и 300 °С (кривые 2).

Штрихованные контуры с символами *a* и *b* относятся к коротким и длинным водородным связям соответственно (см. текст), сплошные кривые 1 и 2 — их сумма. Точки 1 ν и 2 ν на рис. 6, а соответствуют экспериментальным распределениям частот $P(v_{\text{OH}}, T)$

рис. 6, г), условно их можно отнести к подклассу слабых водородных связей. Нельзя не отметить, что и для этих температур рассчитанные суммарные спектры (сплошные линии на рис. 6, а) хорошо согласуются с экспериментом (точки).

Сравнение водородных связей по степени их нелинейности (см. рис. 6, б и в) свидетельствует, что короткие связи приобретают дополнительное преимущество перед длинными благодаря меньшей изогнутости (кривые 1 α и 2 α по сравнению с 1 β и 2 β). При 300 °С (кривые 2 β) вероятность встретить длинную связь даже растет с увеличением ее изгиба. Таким образом, большинство слабых водородных связей в воде характеризуются не только большой длиной, но и большой нелинейностью. Совместно эти два фактора объясняют чрезвычайно малую энергию большей их части (кривые 2 на рис. 6, г). Вместе с тем крылья распределений $P(E)$ длинных Н-связей простираются до -17 кДж/моль, что делает достаточно условным выделение их в отдельный класс по критерию силы связи.

Мы видели, что при всех достигнутых в опыте температурах вероятность реализации водородного мостика с заданной геометрией в первую очередь определяется его энергией. Однако чисто умозрительно, при стремлении температуры к бесконечности (когда все возможные энергии становятся равновероятными) должна начать превалировать вырожденность состояний. И действительно, рассчитанная для двух рассмотренных выше групп Н-связей функция $W(v)$ (в которую превращается спектр частот $P(v)$ при $T \rightarrow \infty$) демонстрирует явное преобладание длинных Н-связей (кривая 1 β против 1 α на рис. 7, а). Более детальное разбиение шкалы расстояний на четыре интервала (см. R_1, R_2, R_3 на рис. 4) показывает (см. рис. 7, б), что доминирующую

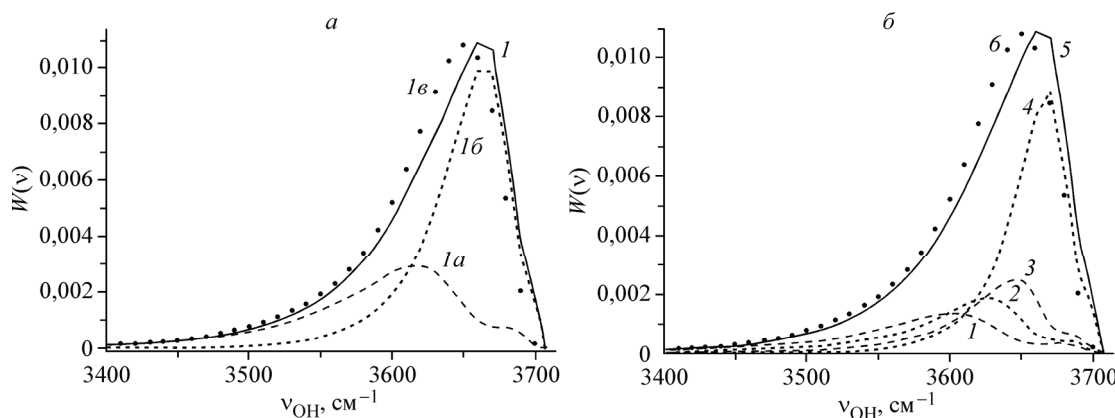


Рис. 7. Функция вырожденности конфигураций $W(v)$, рассчитанная для различных по длине групп H-связей:

a) кривая 1 a для $R_{\text{O...O}} < R_2$, кривая 1 b для $R_{\text{O...O}} > R_2$ (см. рис. 4). Сплошная 1 — их сумма. Точки 1 b полученная из эксперимента функция $W(v)$; *б*) то же, что на рис. 7, *a*, но с более детальным разбиением H-связей по длинам, см. границы интервалов R_1 , R_2 , R_3 на рис. 4. Кривая 5 — сумма контуров 1—4; точки 6 — эталонная $W(v)$ (кривая 1 b на рис. 7, *a*)

шими становятся H-связи с длинами выше $R_3 = 2,892 \text{ \AA}$ и энергиями, большими -15 кДж/моль . Как и следовало ожидать, чем длиннее H-связи, тем больше их вклад в вырожденность состояний (кривые 1—3).

ВЫВОДЫ

В аналитическом виде получена зависимость частоты колебаний группы О—Н молекулы воды и энергии H-связи, в которую она вовлечена, от основных геометрических параметров водородного мостика О—Н...О. Рассчитанные на их основе распределения валентных частот хорошо согласуются с экспериментальными в широком интервале температур. Вычислены функции распределения углов изгиба H-связей в жидкой воде. Проанализирована роль длины водородной связи в формирование этих распределений. Результаты могут быть использованы при анализе свойств компьютерных моделей воды, в том числе для количественного описания присутствующих в ней водородных связей и воссоздания колебательного спектра, соответствующего данной модели.

Работа была поддержана грантами Российского фонда фундаментальных исследований 04-03-32560 и 07-03-32560.

СПИСОК ЛИТЕРАТУРЫ

1. Bernal J.D., Fowler R.H. // J. Chem. Phys. — 1933. — **1**. — P. 515 — 548. Бернал Дж., Фаулер Р. // Успехи физ. наук. — 1934. — **14**. — С. 586 — 644.
2. Пиментел Дж., Мак-Клеллан О. Водородная связь. — М.: Мир, 1964.
3. Efimov Yu.Ya., Naberukhin Yu.I. // Farad. Discuss. Chem. Soc. — 1988. — **85**. — P. 117 — 123.
4. Жуковский А.П. // Журн. структур. химии. — 1976. — **17**. — С. 931 — 932.
5. Efimov Yu.Ya., Naberukhin Yu.I. // Molec. Phys. — 2003. — **101**. — P. 459 — 468.
6. Efimov Yu.Ya., Naberukhin Yu.I. // Ibid. — 2004. — **102**. — P. 1407 — 1414.
7. Ефимов Ю.Я. // Журн. структур. химии. — 2009. — **50**, № 4. — С. 729 — 738.
8. Ефимов Ю.Я. // Там же. — 2008. — **49**, № 2. — С. 265 — 273.
9. Ефимов Ю.Я. // Там же. — 1991. — **32**, № 6. — С. 72 — 80.
10. Falk M. Chemistry and Physics of Aqueous Gas Solutions / Ed. W.B. Adams et al. — Princeton: Electrochem. Soc. Inc., 1975. — P. 19 — 41.
11. Ефимов Ю.Я., Наберухин Ю.И. // Журн. структур. химии. — 2000. — **41**, № 3. — С. 532 — 539.
12. Palamarev H., Georgiev G. // Mol. Struct. — 1996. — **378**. — P. 237 — 248.